

7600017

Introdução à Física Computacional

**Projeto 4: O problema de Kepler
Força Central**

Prof: José A. Hoyos

**Victor Foscarini Almeida
nUsp: 10728101**

São Carlos, 2019

Introdução

O método de Runge-Kutta é um dos métodos mais eficientes para se realizar a integração numérica. Ele demora mais que outros métodos como o método de Simpsons e do trapézio para ser programado, porém compensa em eficiência.

Métodos e Resultados

1- O problema de dois corpos

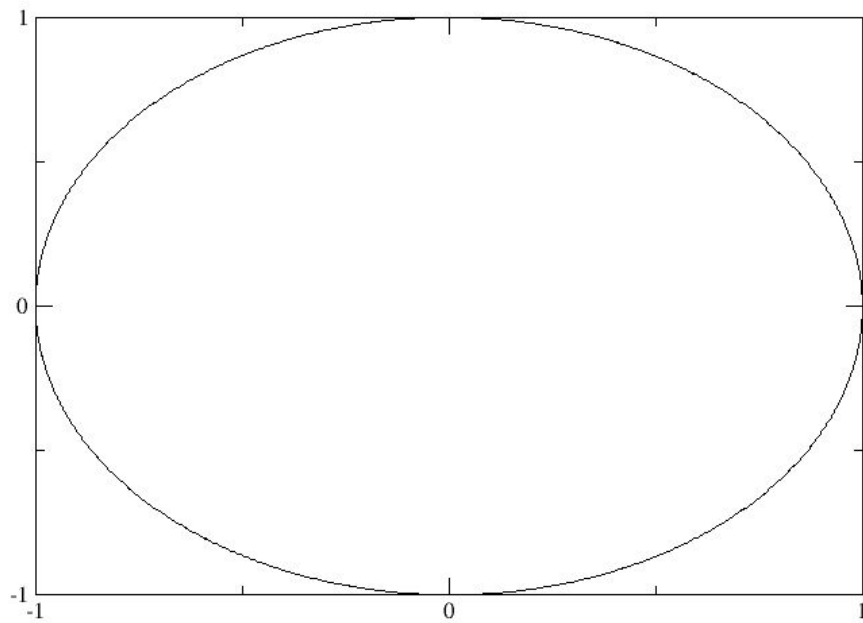
Dada uma força gravitacional entre dois corpos, é possível simplificá-lo ao tomar que um corpo é muito mais massivo que o outro, assim o problema vira um corpo na ação de uma força central. Essa simplificação é muito útil para casos como o da Terra e do Sol, onde a massa do sol é muito maior do que a da Terra.

1.1 - Força central e planeta Terra em órbita

Criou-se um código para simular a órbita de um planeta em volta de uma estrela, considerando essa estrela tão mais massiva que o planeta que a força de atração entre ambas pode ser considerada uma força central, onde a estrela fica parada e o planeta orbita a estrela em um movimento circular.

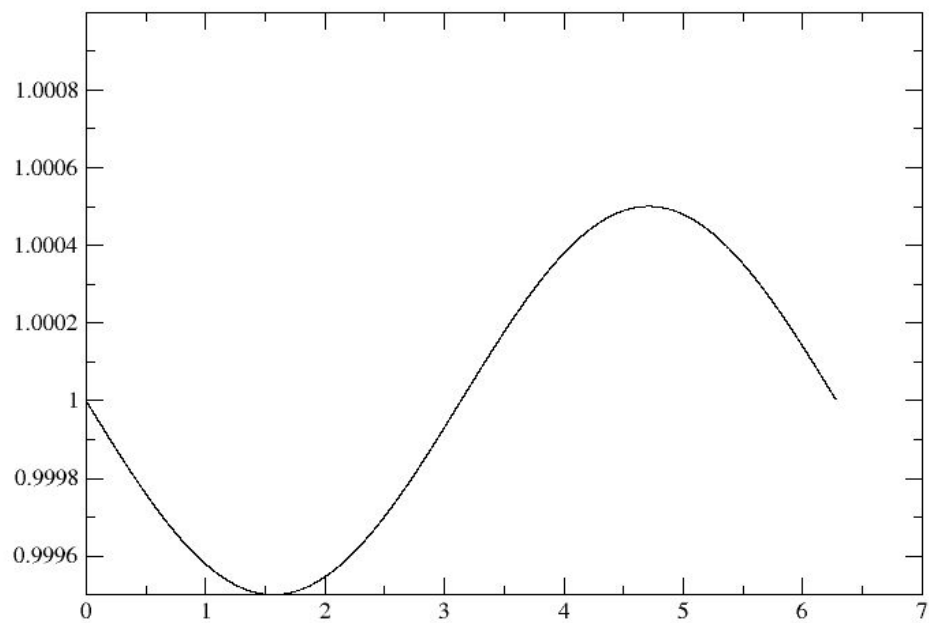
Plotando as posições, a órbita fica assim:

Órbita Terra



Note que apesar de parecer uma elipse, ela é circular, isso ocorre apenas devido ao layout do Grace.

Já o raio em função do tempo fica, então:



```

program orbitaTerra

    implicit none

    integer i
    real*8 pi
    real*8 vx,vy,p,px,py,T,dT

    p = 1.d0 !p = 1/UA * r, no caso 1 para a Terra

    pi = 4*atan(1.d0) !a definição de pi do fortran

    !define-se o intervalo de T(período), note que 2*pi/ano, para
    a terra 2*pi

    dT = 0.001d0 !utiliza-se o intervalo de 1/1000 de ano

    !note que T e dT se referem a tau e p se refere a r0

    !vamos definir o planeta Terra saindo de px = p e py = 0, ou
    seja, do ponto onde a posição no eixo y é nula
    px = p
    py = 0

    !dadas as condições iniciais, utiliza-se a velocidade da Terra

    vx = 0
    vy = 1.d0 !tem-se v = 2*pi*r/ano, ou v= r/UA em p/s, sendo v=1
    para a Terra e vy máxima pela geometria

    !utiliza-se um loop implementando o método de EC

    open(10,file='orbitas.dat')
    open(20,file='RaioxTempo.dat')

    do i=1,int(1 * 2*pi/dT)
        vx = vx - px/p**3 * dT
        px = px + vx * dT

        vy = vy - py/p**3 * dT
        py = py + vy *dT

        p = (px**2 + py**2)**0.5
        T = T + dT
    end do

```

```

        write(10,*) px,py
        write(20,*) T,p

    enddo

end program

```

1.2 - Velocidade e dT máximo

Primeiramente, cria-se um programa que, dado o raio e a massa de um planeta que orbita o sol, retorna a velocidade que esse planeta deveria ter para que a órbita seja circular. Utiliza-se o semieixo maior e aplica-se $v = \sqrt{G * M/R}$. Note que a entrada é a massa em massas da Terra e o semieixo maior em unidades astronômicas.

Planeta	Velocidade(m/s)
Mercúrio	11186.55
Vênus	10022.13
Terra	29788.41
Marte	7903.46
Júpiter	232948.10
Saturno	93903.76
Urano	25886.94
Netuno	22452.36

```

program velocidade

    implicit none

    real*8 M,R
    real*8 Ms,G,UA

    Ms = 1.989 !* 10**30

```

```
G = 6.67408 !* 10**(-11)
UA = 1.496 !* 10**11
```

!será realizada a conta das potências de 10 por fora do
fortran, visto que ele não consegue calcular com tamanha precisão

```
write(*,*)"Massa do planeta: "  
read(*,*) M  
M = M * Ms
```

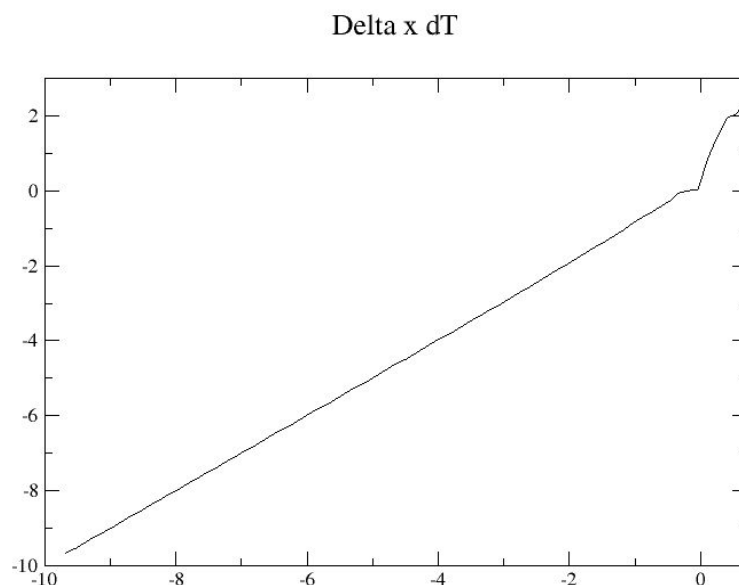
```
write(*,*) "Semieixo maior: "  
read(*,*) R  
R = R*UA
```

!conta das potências = $-11 + 30 + (-11) = 8$, sendo a raiz de
10 a oitava 10 a quarta

```
write(*,*)"velocidade:", sqrt(G*M/R)*10000,"m/s"
```

```
end program
```

Agora, para a segunda parte do problema, obteve-se o gráfico de delta em função de dT, em logxlog e o valor de dTmax como 10^{-3} , devido à linearidade do gráfico obtido no formato y=x. Note que para valores muito grandes(canto superior direito) não há precisão suficiente, então a função não se comporta como esperado, mas para valores menores nota-se claramente a relação.



```

program deltaxdT

    implicit none

    integer i,j
    real*8 pi
    real*8 vx,vy,p,px,py,T,dT,pmax,pmin,delta,jr

    pi = 4*atan(1.d0) !a definição de pi do fortran

    open(10,file="deltaxdT.dat")

    do j=8,80

        !diferentemente do codigo anterior,T e dT aqui serao
variáveis

        !note que T e dT se referem a tau e p a r0

        p = 1.d0 !p = 1/UA * r, no caso 1 para a Terra

        !vamos definir o planeta Terra saindo de px = p e py = 0,
ou seja, do ponto onde a posição no eixo y é nula
        px = p
        py = 0

        !dadas as condições iniciais, utiliza-se a velocidade da
Terra
        vx = 0
        vy = 1.d0 !tem-se v = 2*pi*r/ano, ou v= r/UA em p/s, sendo
v=1 para a Terra e vy máxima pela geometria

        !utiliza-se um loop implementando o método de EC

        !define-se o pmax e o pmin como sendo 1, visto que esse é
o valor de p inicial e, a partir de um if, encontra-se o pmax e o
pmin
        pmax = 1.d0
        pmin = 1.d0

        !define-se o intervalo de T(período), note que T =
2*pi/ano, para a terra T = 2*pi

        jr = real(j,8)/16

        T = 2*pi

```

```

dT = T / 10**(jr)

do i=1,10**(jr)

    vx = vx - px/p**3 * dT
    px = px + vx * dT

    vy = vy - py/p**3 * dT
    py = py + vy *dT

    p = sqrt(px**2 + py**2)

    if (p > pmax) then
        pmax = p
    else if (p < pmin) then
        pmin = p
    endif

enddo

delta = pmax/pmin - 1

write(10,*)dT,delta

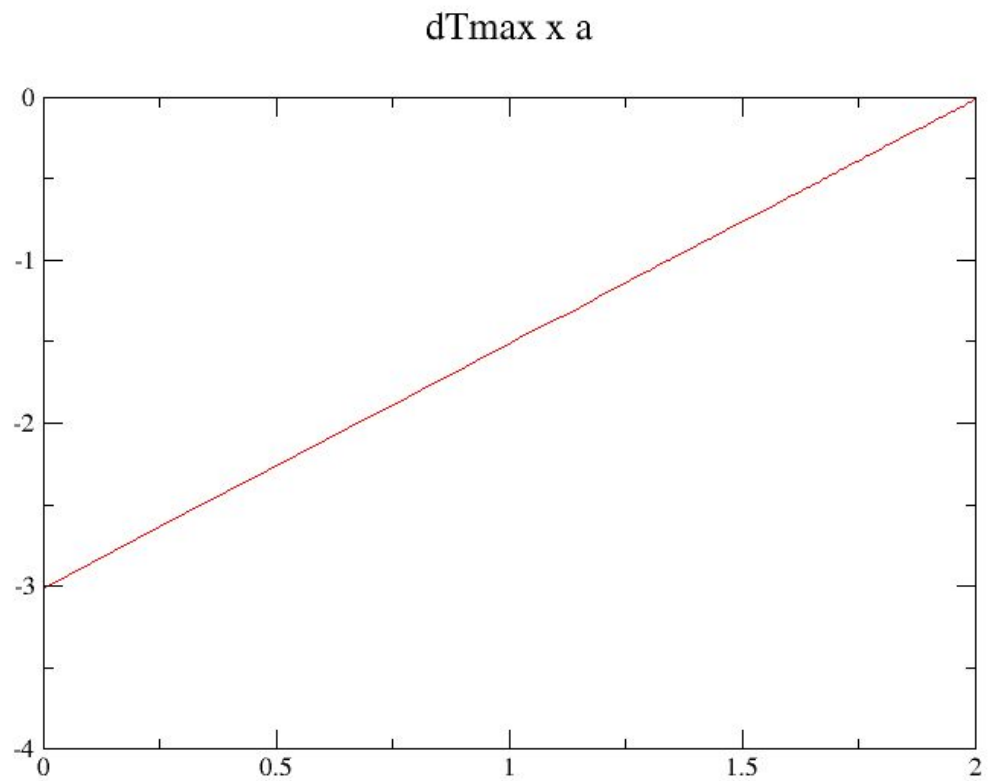
enddo

end program

```

Após isso, então, busca-se o valor de dT max em função de a, na esperança de revelar algo acerca da terceira lei de Kepler.

Plota-se então dT max em função de a, a função $y = -3.0143 + 1.5 * x$, onde o coeficiente angular 1,5 é resultado direto da análise dimensional da lei de Kepler, da proporcionalidade do tempo com o raio elevado a 3/2. Isso ocorre pois dTmax é proporcional ao período e a variação sofrida durante o ciclo é proporcional à razão entre o passo temporal e o período.



```
program dTmaxxa

  implicit none

  integer i,j,k,Ninteracoes
  real*8 pi
  real*8 vx,vy,p,px,py,T,dT,pmax,pmin,delta,jr

  pi = 4*atan(1.d0) !a definição de pi do fortran

  open(10,file="dTxa.dat")

  do k=1,100

    delta = 1.d0 !valor inicial para iniciar o loop
    j = 8 !o j é utilizado para calcular o valor de interações
    para dT atingir T, ou seja, uma órbita
```

```

do while(delta > 0.001d0)

    j = j + 1

    !diferentemente do codigo anterior,T e dT aqui serao
variáveis

    !note que T e dT se referem a tau e p a r0

    p = 1.d0 * k !p = 1/UA * r, no caso 1 para a Terra

    !vamos definir o planeta Terra saindo de px = p e py =
0, ou seja, do ponto onde a posição no eixo y é nula
    px = p
    py = 0

    !dadas as condições iniciais, utiliza-se a velocidade
da Terra
    vx = 0
    vy = 1.d0 / sqrt(p) !tem-se v = 2*pi*r/ano, ou v= r/UA
em p/s, sendo v=1 para a Terra e vy máxima pela geometria

    !utiliza-se um loop implementando o método de EC

    !define-se o pmax e o pmin como sendo 1, visto que
esse é o valor de p inicial e, a partir de um if, encontra-se o
pmax e o pmin
    pmax = p
    pmin = p

    !define-se o intervalo de T(período), note que T =
2*pi/ano, para a terra T = 2*pi

    jr = real(j,8)/16

    T = 2*pi * p**(1.5) !note que utilizou-se a terceira
lei de Kepler para fazer uma proporção para o novo período em
relação ao período da Terra
    dT = T / 10**(jr)

    Ninteracoes = ceiling(10**jr,4)

    do i=1,Ninteracoes

        vx = vx - px/p**3 * dT

```

```

        px = px + vx * dT

        vy = vy - py/p**3 * dT
        py = py + vx *dT

        p = sqrt(px**2 + py**2)

        if (p > pmax) then
            pmax = p
        else if (p < pmin) then
            pmin = p
        endif

    enddo

    delta = pmax/pmin - 1

enddo

write(10,*)log10(p),log10(dT)

enddo

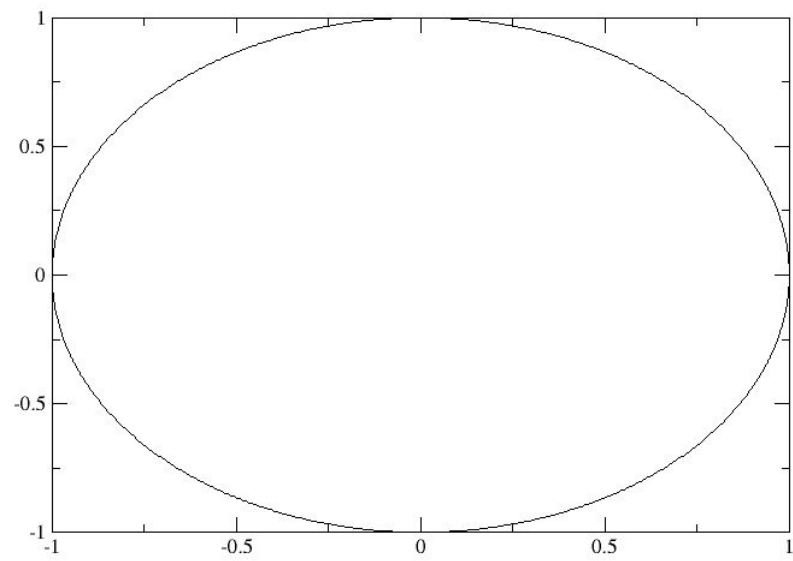
end program

```

1.3 - Planeta em órbita com força central: método Runge-Kutta

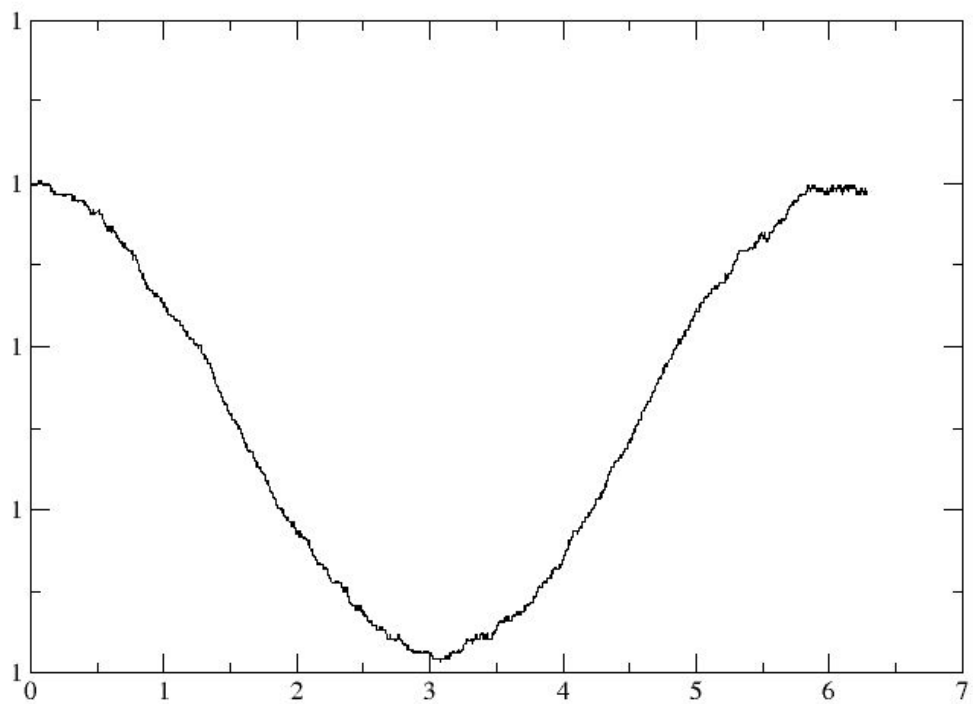
Aqui será feito o mesmo processo do item 2.1, mas dessa vez utilizando o método de Runge-Kutta, já discutido anteriormente na introdução do projeto.

Órbita Terra



Por fim, colocando o raio em função do tempo, pelo método de Runge-Kutta, obtém-se:

Raio x Tempo : Runge-Kutta



```

program orbitarungekutta

    implicit none

    integer i,j,k
    real*8 pi,ano
    real*8 vx,vy,p,px,py,r,T,dT
    real*8 vx2,vy2,px2,py2
    real*8 F1(5),F2(5),F3(5),F4(5)

    p = 1.d0 !p = 1/UA * r, no caso 1 para a Terra

    pi = 4*atan(1.d0) !a definição de pi do fortran

    !define-se o intervalo de T(período), note que 2*pi/ano, para
a terra é 2*pi

    T = 0.d0
    dT = 0.001

    !note que T e dT se referem a tau e p a r0

    !vamos definir o planeta Terra saindo de px = p e py = 0, ou
seja, do ponto onde a posição no eixo y é nula
    px = p
    py = 0

    !dadas as condições iniciais, utiliza-se a velocidade da Terra

    vx = 0
    vy = 1.d0 !tem-se v = 2*pi*r/ano, ou v= r/UA em p/s, sendo v=1
para a Terra e vy máxima pela geometria

    open(10,file='orbitas.dat')
    open(20,file="raioxtempo.dat")

    !utiliza-se um loop implementando o método de Runge-Kutta

    T = 0.d0

    do j=1,int(1 * 2*pi/dT)

        F1(1) = vx
        F2(1) = vy
        F3(1) = - px/p**3
        F4(1) = - py/p**3

```

```

do i=2,4

    if (i<4) then
        px2 = px + dT/2 * F1(i-1)
        py2 = py + dT/2 * F2(i-1)
        vx2 = vx + dT/2 * F3(i-1)
        vy2 = vy + dT/2 * F4(i-1)
    else
        px2 = px + dT * F1(i-1)
        py2 = py + dT * F2(i-1)
        vx2 = vx + dT * F3(i-1)
        vy2 = vy + dT * F4(i-1)
    endif

    call Rk(i,F1,F2,F3,F4,px2,py2,vx2,vy2)

enddo

px = px + dT/6 * ( F1(1) + 2*F1(2) + 2*F1(3) + F1(4) )
py = py + dT/6 * ( F2(1) + 2*F2(2) + 2*F2(3) + F2(4) )
vx = vx + dT/6 * ( F3(1) + 2*F3(2) + 2*F3(3) + F3(4) )
vy = vy + dT/6 * ( F4(1) + 2*F4(2) + 2*F4(3) + F4(4) )

p = (px**2.d0 + py**2.d0)**0.5d0
T = T +dT

write(10,*) px,py
write(20,*) p,T

enddo

end program

subroutine Rk(i,F1,F2,F3,F4,px2,py2,vx2,vy2)

integer i
real*8 F1(5),F2(5),F3(5),F4(5)
real*8 px2,py2,vx2,vy2

F1(i) = vx2
F2(i) = vy2
F3(i) = -px2/((px2**2 + py2**2)**1.5)
F4(i) = -py2/((px2**2 + py2**2)**1.5)

```

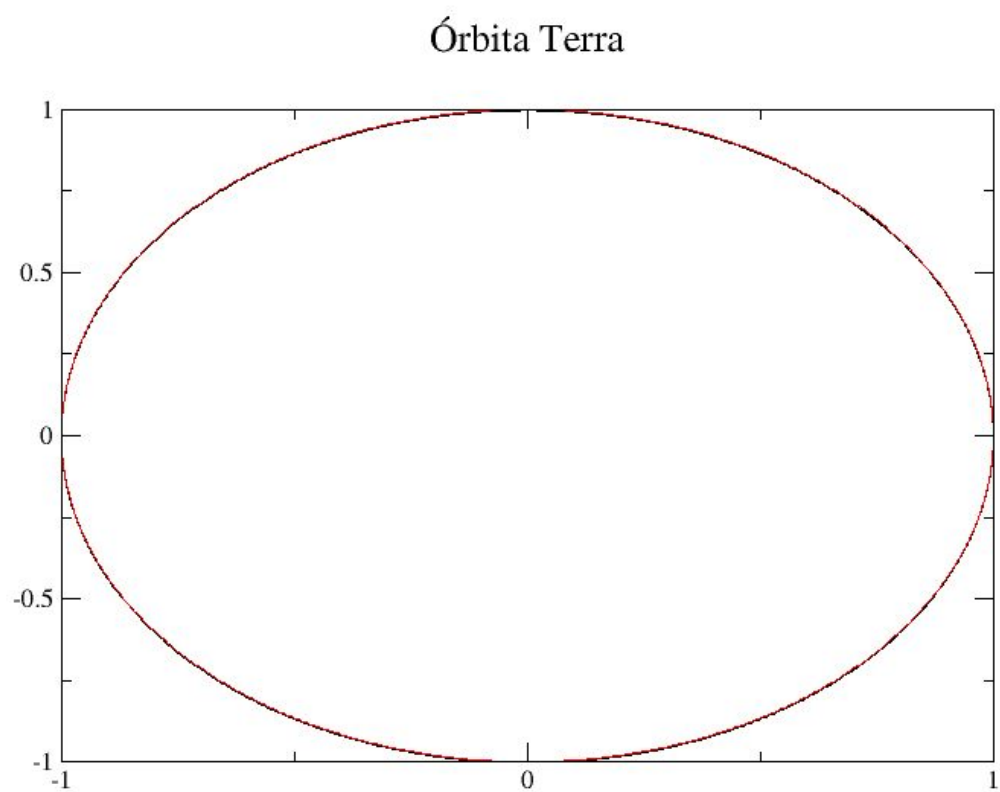
```
end subroutine
```

1.4 - Traçando o gráfico de $p(T)$

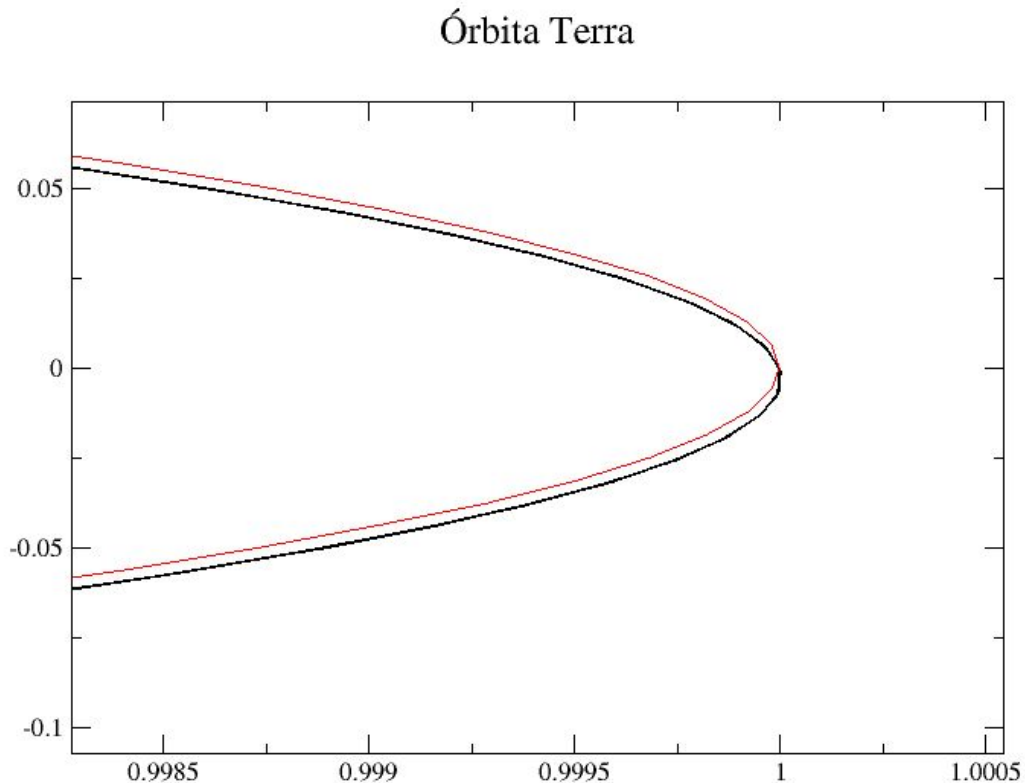
Traçando os dois métodos num mesmo gráfico, obtém-se:

Vermelho : Runge-Kutta

Preto : método de EC



Os gráficos parecem ser iguais, porém ao dar zoom é possível notar a diferença:



Checando os valores de X e Y num ponto em que Y é máximo (1) e X é nulo, nota-se que o método de runge-kutta chega mais próximo a 1 do que o método de EC, sendo esperado $p=1$ no máximo, então $Y=1$ e $X=0$.

Por Runge-Kutta:

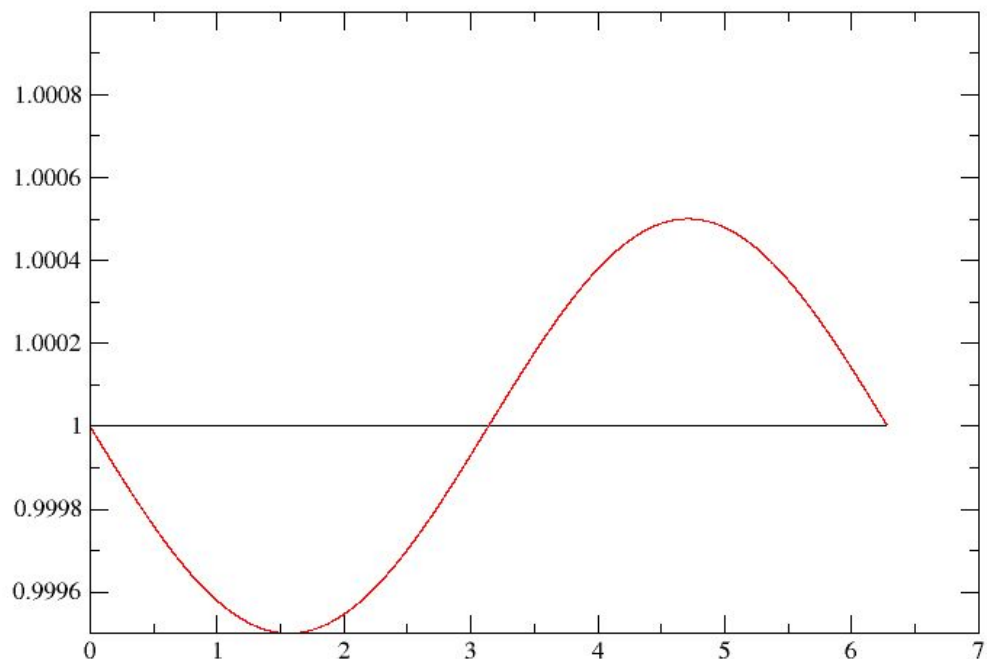
2.5130093952902520E-002	0.99968418928679981
1.8848438224682403E-002	0.99982235237483674
1.2566038392394813E-002	0.99992104418836880
6.2831424744279598E-003	0.99998026083121205
-1.4912453372845080E-009	0.99999999996559474
-6.2831454568597562E-003	0.99998026081224978
-1.2566041374649979E-002	0.99992104415044503
-1.8848441206643196E-002	0.99982235231795291
-2.5130096934451205E-002	0.99968418921095803
-3.1410760569061766E-002	0.99950656028390328

Por EC:

2.6815390762469193E-002	0.99651824677984091
2.0514268145960329E-002	0.99666747617824236
1.4212328027161093E-002	0.99677698795480529
7.9098215405982789E-003	0.99684677771310515
1.6069998438959397E-003	0.99687684265457133
-4.6958858925163034E-003	0.99686718157860466
-1.0998584495695523E-002	0.99681779488262667
-1.7300844800477846E-002	0.99672868456206165
-2.3602415659770438E-002	0.99659985421025055

O mesmo se repete em todas as pontas do círculo em que um eixo é nulo e o outro máximo, então é notório que o método de Runge-Kutta é mais preciso que o método de EC.

Tem-se, por fim, os gráficos de raio em função do tempo plotados na mesma escala para Runge-Kutta e pelo método de EC para notar a diferença de forma mais clara:



2 - Sistema com três corpos: Terra,Júpiter,Sol

Aqui será feita uma simulação mais próxima do sistema solar, considerando os efeitos de Júpiter sobre a Terra e sobre o Sol e vice-versa.

2.1 - Análogo de Runge-Kutta

Aplica-se, para cada objeto:

$$\begin{aligned}p_{x,i+1} &= p_{x,i} + \frac{\Delta T}{6}(F_{1,i}^{(1)} + 2F_{1,i}^{(2)} + 2F_{1,i}^{(2)} + F_{1,i}^{(4)}) \\p_{y,i+1} &= p_{y,i} + \frac{\Delta T}{6}(F_{2,i}^{(1)} + 2F_{2,i}^{(2)} + 2F_{2,i}^{(2)} + F_{2,i}^{(4)}) \\v_{x,i} &= v_{x,i} + \frac{\Delta T}{6}(F_{3,i}^{(1)} + 2F_{3,i}^{(2)} + 2F_{3,i}^{(2)} + F_{3,i}^{(4)}) \\v_{y,i} &= v_{y,i} + \frac{\Delta T}{6}(F_{4,i}^{(1)} + 2F_{4,i}^{(2)} + 2F_{4,i}^{(2)} + F_{4,i}^{(4)})\end{aligned}$$

Onde:

$$\begin{aligned}F_{1,i}^{(j)} &= v_{x,i} \\F_{2,i}^{(j)} &= v_{y,i} \\F_{3,i}^{(j)} &= \ddot{p}_{x,i}^{(j)} \\F_{4,i}^{(j)} &= \ddot{p}_{y,i}^{(j)}\end{aligned}$$

E, então:

$$\begin{aligned}p_{x,i} &= p_{x,i} + B^{(j)}\Delta T F_{1,i}^{(j-1)} \\p_{y,i} &= p_{y,i} + B^{(j)}\Delta T F_{2,i}^{(j-1)} \\v_{x,i} &= v_{x,i} + B^{(j)}\Delta T F_{3,i}^{(j-1)} \\v_{y,i} &= v_{y,i} + B^{(j)}\Delta T F_{4,i}^{(j-1)}\end{aligned}$$

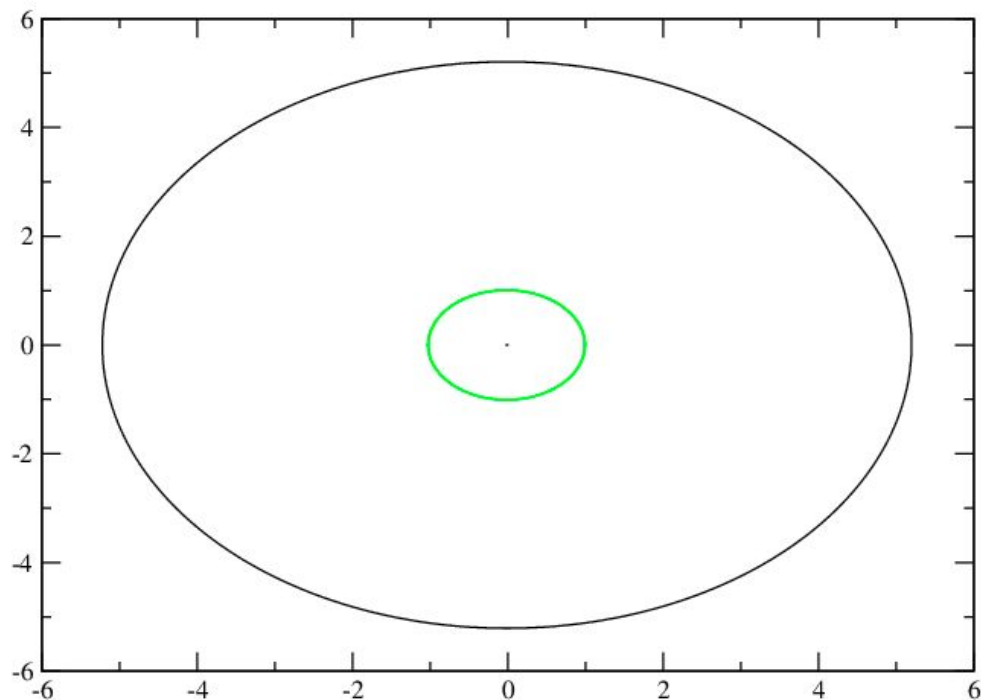
E:

$$\begin{aligned}p_i &= \sqrt{p_{x,i}^2 + p_{y,i}^2} \\B^{(1)} &= 0,2 \ ; \ 2B^{(2)} = 2B^{(3)} = B^{(4)} = 1\end{aligned}$$

2.2- Sol,Terra e Júpiter

Ao deixar de ser um problema de uma força central e um planeta em órbita(Terra e Sol) e adicionar-se Júpiter no problema, a simulação torna-se mais complexa. sendo que dessa vez é necessária a simulação, visto que não há uma solução analítica simples para o problema de três corpos assim como há para o problema de dois corpos.

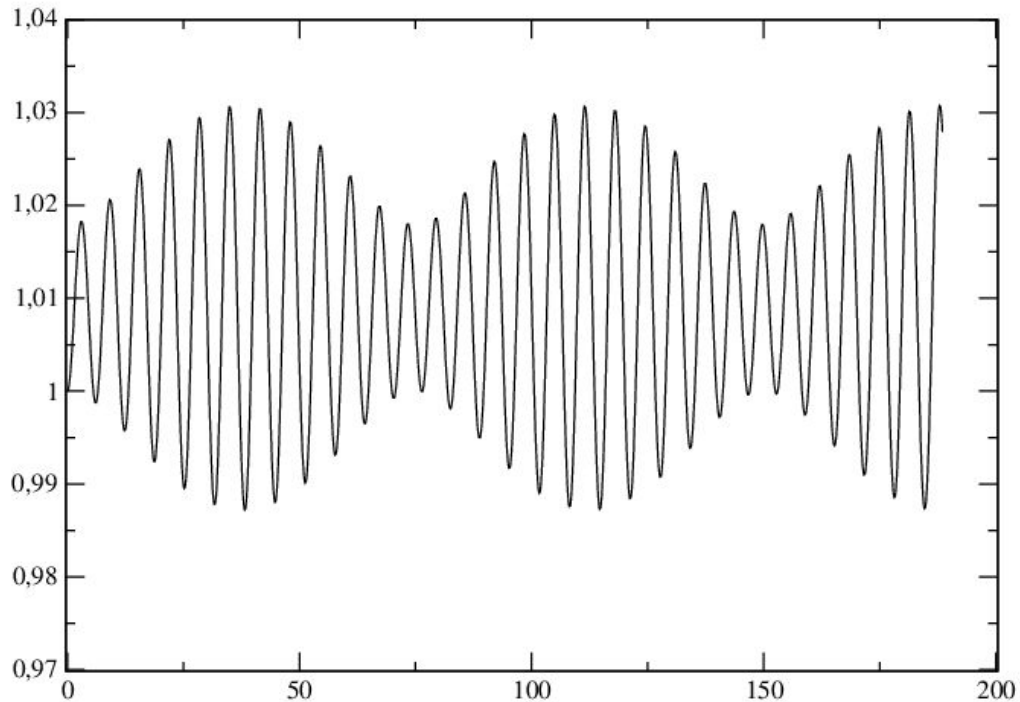
Terra, Sol e Jupiter usual



É notório que o sistema está em equilíbrio, o que era esperado visto que foram utilizados os dados reais do sistema solar. Obtivemos então algo muito semelhante ao sistema solar real, considerando esses três corpos.

Nota-se que o raio da terra(em relação ao centro do sistema, que no caso coincide como Sol) apresentou uma variação durante a órbita:

Raio da Terra x Tempo



Por fim, a razão obtida de p_{max}/p_{min} para a Terra a partir dos dados da simulação foi de **1,04357**. Esse valor é um pouco maior do que o obtido diretamente com os dados da Terra: **1,03399**, mostrando então que o método de Runge-Kutta consegue simular bem a órbita, mesmo que seja elíptica.

```
program TerraSolJupiter
  implicit none

  real*8 :: dT, ms, pi
  real*8 :: pxs, pys, xs, ys, vxs, vys, vx_s, vy_s
  real*8 :: p1, px1, py1, x1, y1, vx1, vy1, vx_1, vy_1
  real*8 :: px2, py2, x2, y2, vx2, vy2, vx_2, vy_2
  real*8 :: m1, m2, T
  real*8,dimension(4,4) :: f1(4,4), f2(4,4), fs(4,4)
  real*8, dimension(4) :: B(4)
  integer :: i, j

  dT = 0.001d0
  ms = 1.d0 !soma-se a massa do sol como base
  pi = 4.d0*atan(1.d0)
```

```
m1=1.d0/(3.33d5) !massa da Terra
m2=318.d0*m1 !massa de Júpiter
```

!note que a Terra e Júpiter sairão das respectivas pontas
direitas da órbita(onde o eixo X é máximo e Y nulo) e o sol do
ponto central

```
px1=1.d0
py1=0.d0
vx1=0.d0
vy1=1.d0
p1=(px1**2.d0+py1**2.d0)**0.5d0
```

```
px2=5.2d0
py2=0.d0
vx2=0.d0
vy2=1.d0/((5.2d0)**(0.5d0))
```

```
pxs=-m1*px1-m2*px2
pys=0.d0
vxs=0.d0
vys=-m1*vy1+m2*vy2
```

```
T=0.d0
```

B=[0.2d0, 2.d0, 2.d0, 1.d0] !diferentemente dos códigos
anteriores, foi definido um vetor que guarda os valores de B para
facilitar

```
!arquivos que armazenam as trajetórias dos três corpos
open(10,file='traj_terra.dat')
open(20,file='traj_jupiter.dat')
open(30,file='traj_sol.dat')
```

open(40,file='p_terra.dat') !armazena o raio da órbita
terrestre

```
do i=1,int(30*2*pi/dT)
```

```
write(10,*)px1, py1
write(20,*)px2, py2
write(30,*)pxs, pys
write(40,*)T, p1
```

```
T=T+dT
```

!aplica-se então o método de Runge-Kutta como descrito no projeto

```
f1(1,1) = vx1
f1(1,2) = vy1
f1(1,3) =
((pxs-px1)/(((pxs-px1)**2.d0+(pys-py1)**2.d0)**1.5d0)) -
(m2*(px1-px2)/(((px1-px2)**2.d0+(py1-py2)**2.d0)**1.5d0))
f1(1,4) =
((pys-py1)/(((pxs-px1)**2.d0+(pys-py1)**2.d0)**1.5d0)) -
(m2*(py1-py2)/(((px1-px2)**2.d0+(py1-py2)**2.d0)**1.5d0))

f2(1,1) = vx2
f2(1,2) = vy2
f2(1,3) =
((pxs-px2)/(((pxs-px2)**2.d0+(pys-py2)**2.d0)**1.5d0)) +
(m1*(px1-px2)/(((px1-px2)**2.d0+(py1-py2)**2.d0)**1.5d0))
f2(1,4) =
((pys-py2)/(((pxs-px2)**2.d0+(pys-py2)**2.d0)**1.5d0)) +
(m1*(py1-py2)/(((px1-px2)**2.d0+(py1-py2)**2.d0)**1.5d0))

fs(1,1) = vxs
fs(1,2) = vys
fs(1,3) =
(m1*(pxs-px1)/(((pxs-px1)**2.d0+(pys-py1)**2.d0)**1.5d0)) +
(m2*(pxs-px2)/(((pxs-px2)**2.d0+(pys-py2)**2.d0)**1.5d0))
fs(1,4) =
(m1*(pys-py1)/(((pxs-px1)**2.d0+(pys-py1)**2.d0)**1.5d0)) +
(m2*(pys-py2)/(((pxs-px2)**2.d0+(pys-py2)**2.d0)**1.5d0))

do j=2,4

x1 = px1 + dT*f1(j-1,1)/B(j)
y1 = py1 + dT*f1(j-1,2)/B(j)
vx_1 = vx1 + dT*f1(j-1,3)/B(j)
vy_1 = vy1 + dT*f1(j-1,4)/B(j)

x2 = px2 + dT*f2(j-1,1)/B(j)
y2 = py2 + dT*f2(j-1,2)/B(j)
vx_2 = vx2 + dT*f2(j-1,3)/B(j)
vy_2 = vy2 + dT*f2(j-1,4)/B(j)

xs = pxs + dT*fs(j-1,1)/B(j)
ys = pys + dT*fs(j-1,2)/B(j)
```

```

vx_s = vxs + dT*fs(j-1,3)/B(j)
vy_s = vys + dT*fs(j-1,4)/B(j)

f1(j,1) = vx_1
f1(j,2) = vy_1
f1(j,3) =
((xs-x1)/(((xs-x1)**2.d0+(ys-y1)**2.d0)**1.5d0)) -
(m2*(x1-x2)/(((x1-x2)**2.d0+(y1-y2)**2.d0)**1.5d0))
f1(j,4) =
((ys-y1)/(((xs-x1)**2.d0+(ys-y1)**2.d0)**1.5d0)) -
(m2*(y1-y2)/(((x1-x2)**2.d0+(y1-y2)**2.d0)**1.5d0))

f2(j,1) = vx_2
f2(j,2) = vy_2
f2(j,3) =
((xs-x2)/(((xs-x2)**2.d0+(ys-y2)**2.d0)**1.5d0)) +
(m1*(x1-x2)/(((x1-x2)**2.d0+(y1-y2)**2.d0)**1.5d0))
f2(j,4) =
((ys-y2)/(((xs-x2)**2.d0+(ys-y2)**2.d0)**1.5d0)) +
(m1*(y1-y2)/(((x1-x2)**2.d0+(y1-y2)**2.d0)**1.5d0))

fs(j,1) = vx_s
fs(j,2) = vy_s
fs(j,3) =
(m1*(xs-x1)/(((xs-x1)**2.d0+(ys-y1)**2.d0)**1.5d0)) +
(m2*(xs-x2)/(((xs-x2)**2.d0+(ys-y2)**2.d0)**1.5d0))
fs(j,4) =
(m1*(ys-y1)/(((xs-x1)**2.d0+(ys-y1)**2.d0)**1.5d0)) +
(m2*(ys-y2)/(((xs-x2)**2.d0+(ys-y2)**2.d0)**1.5d0))

enddo

px1 = px1 +
(dT/6.d0)*(f1(1,1)+2.d0*(f1(2,1)+f1(3,1))+f1(4,1))
py1 = py1 +
(dT/6.d0)*(f1(1,2)+2.d0*(f1(2,2)+f1(3,2))+f1(4,2))
vx1 = vx1 +
(dT/6.d0)*(f1(1,3)+2.d0*(f1(2,3)+f1(3,3))+f1(4,3))
vy1 = vy1 +
(dT/6.d0)*(f1(1,4)+2.d0*(f1(2,4)+f1(3,4))+f1(4,4))

px2 = px2 +
(dT/6.d0)*(f2(1,1)+2.d0*(f2(2,1)+f2(3,1))+f2(4,1))
py2 = py2 +
(dT/6.d0)*(f2(1,2)+2.d0*(f2(2,2)+f2(3,2))+f2(4,2))

```

```

        vx2 = vx2 +
(dT/6.d0)*(f2(1,3)+2.d0*(f2(2,3)+f2(3,3))+f2(4,3))
        vy2 = vy2 +
(dT/6.d0)*(f2(1,4)+2.d0*(f2(2,4)+f2(3,4))+f2(4,4))

        pxs = pxs +
(dT/6.d0)*(fs(1,1)+2.d0*(fs(2,1)+fs(3,1))+fs(4,1))
        pys = pys +
(dT/6.d0)*(fs(1,2)+2.d0*(fs(2,2)+fs(3,2))+fs(4,2))
        vxs = vxs +
(dT/6.d0)*(fs(1,3)+2.d0*(fs(2,3)+fs(3,3))+fs(4,3))
        vys = vys +
(dT/6.d0)*(fs(1,4)+2.d0*(fs(2,4)+fs(3,4))+fs(4,4))

        p1 = (px1**2.d0+py1**2.d0)**0.5d0

    enddo

end program

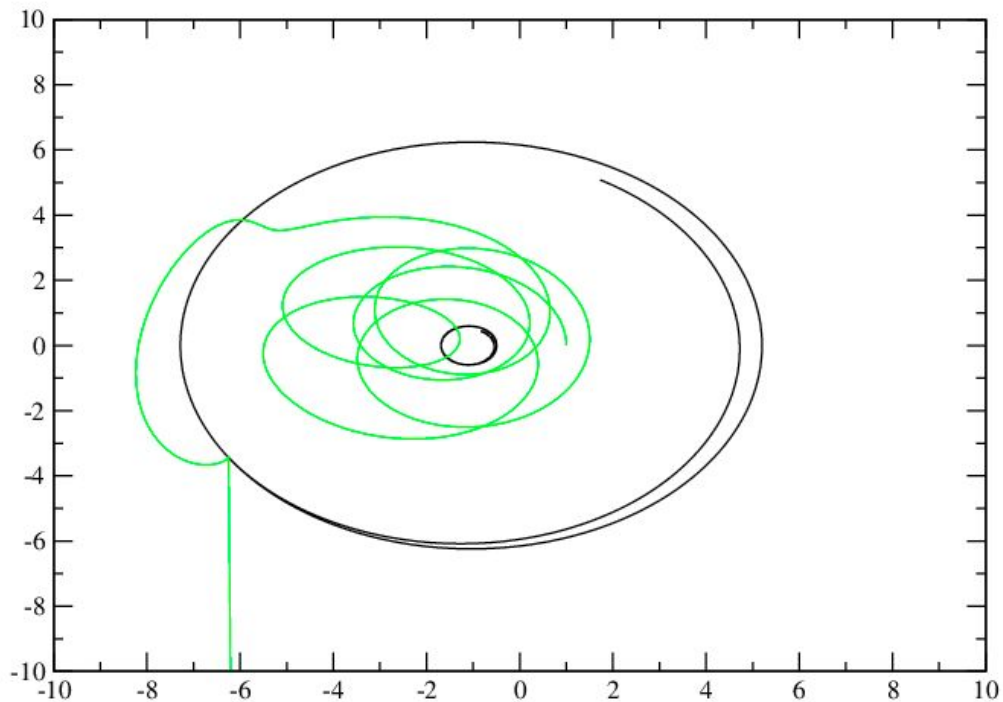
```

2.3- Sol,Terra e Júpiter supermassivo

No problema anterior, notou-se que o Sol não se move muito e age praticamente como uma força central. Dessa vez, porém, será testado se, ao aumentar a massa de júpiter em 10 vezes, haverá alguma mudança na órbita. Espera-se checar uma movimentação maior do Sol dessa vez e algum efeito na Terra.

Obtém-se, então, o gráfico abaixo, onde é notório um efeito de Júpiter sobre a Terra, que apresenta um movimento confuso e o sol, que parece orbitar o ponto central do gráfico. E, a ocorrência mais importante é o fato de que a Terra é ejetada do sistema solar após alguns anos

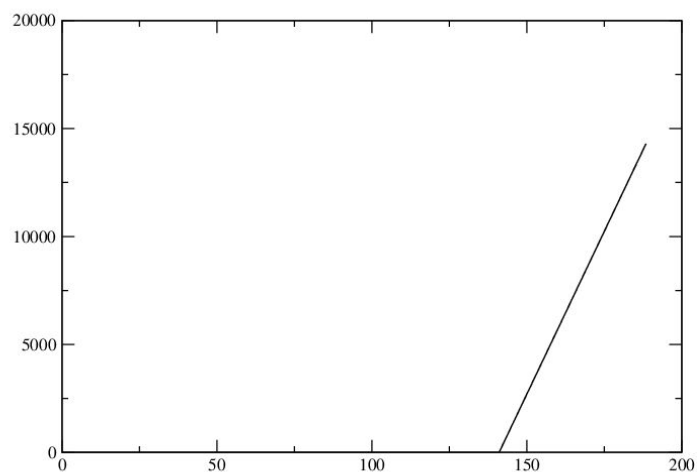
Terra, Sol e Jupiter supermassivo



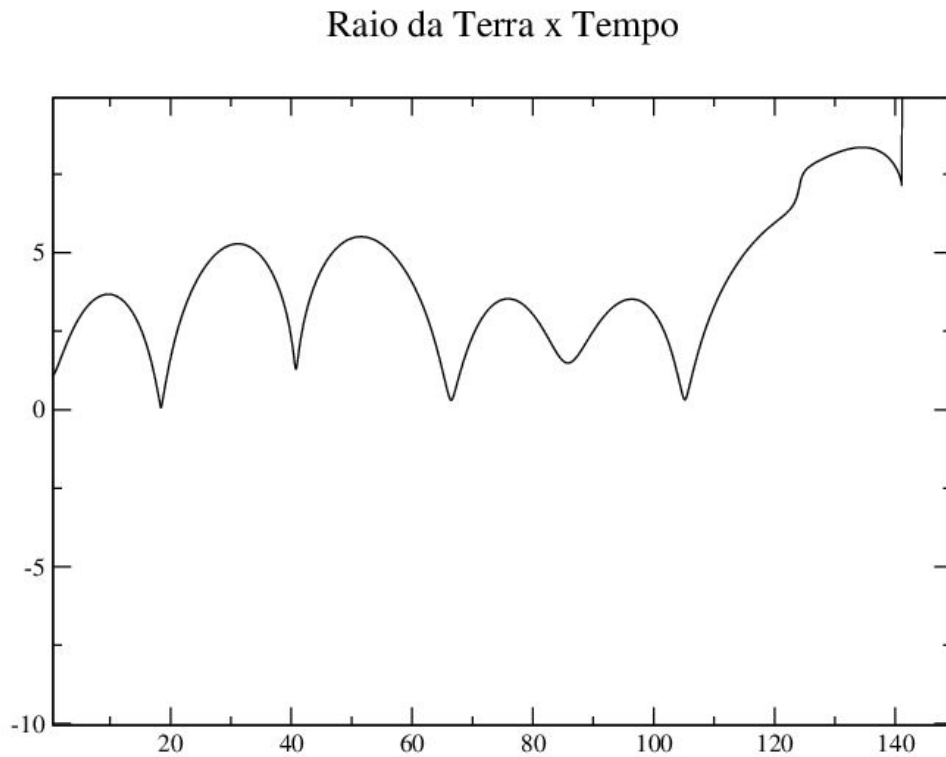
Já quanto ao raio da Terra (em relação ao centro do sistema), nota-se que ele não cresce como no item anterior e, apesar de manter o movimento meio senóide em períodos pequenos de tempo, para períodos grandes a variação é confusa e então a Terra é ejetada do sistema solar, o que parece mostrar que o sistema não está estável como anteriormente.

O raio da Terra em função do tempo fica, como esperado:

Raio da Terra x Tempo



Ao dar zoom, obtemos um resultado mais interessante:



Note que no código as mudanças estão marcadas em vermelho e assim será feito nos próximos:

```
program TerraSolJupitersupermassivo
  implicit none

  real*8 :: dT, ms, pi
  real*8 :: pxs, pys, xs, ys, vxs, vys, vx_s, vy_s
  real*8 :: p1, px1, py1, x1, y1, vx1, vy1, vx_1, vy_1
  real*8 :: px2, py2, x2, y2, vx2, vy2, vx_2, vy_2
  real*8 :: m1, m2, T
  real*8,dimension(4,4) :: f1(4,4), f2(4,4), fs(4,4)
  real*8, dimension(4) :: B(4)
  integer :: i, j

  dT = 0.001d0
  ms = 1.d0 !soma-se a massa do sol como base
  pi = 4.d0*atan(1.d0)

  m1=1.d0/(3.33d5) !massa da Terra
  m2=318.d0*m1 * 100 !massa de Júpiter multiplicada por 100
```

```
!condições iniciais dos três corpos
!note que a Terra e Júpiter sairão das respectivas pontas
direitas da órbita(onde o eixo X é máximo e Y nulo)
```

```
px1=1.d0
py1=0.d0
vx1=0.d0
vy1=1.d0
p1=(px1**2.d0+py1**2.d0)**0.5d0
```

```
px2=5.2d0
py2=0.d0
vx2=0.d0
vy2=1.d0/((5.2d0)**(0.5d0))
```

```
pxs=-m1*px1-m2*px2
pys=0.d0
vxs=0.d0
vys=-m1*vy1+m2*vy2
```

```
T=0.d0
B=[0.2d0, 2.d0, 2.d0, 1.d0] !diferentemente dos códigos
anteriores, foi definido um vetor que guarda os valores de B para
facilitar
```

```
!arquivos que armazenam as trajetórias dos três corpos
open(10,file='traj_terra.dat')
open(20,file='traj_jupiter.dat')
open(30,file='traj_sol.dat')
```

```
open(40,file='p_terra.dat') !armazena o raio da órbita
terrestre
```

```
do i=1,int(30*2*pi/dT)
```

```
write(10,*)px1, py1
write(20,*)px2, py2
write(30,*)pxs, pys
write(40,*)T, p1
```

```
T=T+dT
```

```
!aplica-se então o método de Runge-Kutta como descrevo
no projeto
```

```

f1(1,1) = vx1
f1(1,2) = vy1
f1(1,3) =
((pxs-px1)/((pxs-px1)**2.d0+(pys-py1)**2.d0)**1.5d0)) -
(m2*(px1-px2)/((px1-px2)**2.d0+(py1-py2)**2.d0)**1.5d0))
f1(1,4) =
((pys-py1)/((pxs-px1)**2.d0+(pys-py1)**2.d0)**1.5d0)) -
(m2*(py1-py2)/((px1-px2)**2.d0+(py1-py2)**2.d0)**1.5d0))

f2(1,1) = vx2
f2(1,2) = vy2
f2(1,3) =
((pxs-px2)/((pxs-px2)**2.d0+(pys-py2)**2.d0)**1.5d0)) +
(m1*(px1-px2)/((px1-px2)**2.d0+(py1-py2)**2.d0)**1.5d0))
f2(1,4) =
((pys-py2)/((pxs-px2)**2.d0+(pys-py2)**2.d0)**1.5d0)) +
(m1*(py1-py2)/((px1-px2)**2.d0+(py1-py2)**2.d0)**1.5d0))

fs(1,1) = vxs
fs(1,2) = vys
fs(1,3) =
(m1*(pxs-px1)/((pxs-px1)**2.d0+(pys-py1)**2.d0)**1.5d0)) +
(m2*(pxs-px2)/((pxs-px2)**2.d0+(pys-py2)**2.d0)**1.5d0))
fs(1,4) =
(m1*(pys-py1)/((pxs-px1)**2.d0+(pys-py1)**2.d0)**1.5d0)) +
(m2*(pys-py2)/((pxs-px2)**2.d0+(pys-py2)**2.d0)**1.5d0))

do j=2,4

x1 = px1 + dT*f1(j-1,1)/B(j)
y1 = py1 + dT*f1(j-1,2)/B(j)
vx_1 = vx1 + dT*f1(j-1,3)/B(j)
vy_1 = vy1 + dT*f1(j-1,4)/B(j)

x2 = px2 + dT*f2(j-1,1)/B(j)
y2 = py2 + dT*f2(j-1,2)/B(j)
vx_2 = vx2 + dT*f2(j-1,3)/B(j)
vy_2 = vy2 + dT*f2(j-1,4)/B(j)

xs = pxs + dT*fs(j-1,1)/B(j)
ys = pys + dT*fs(j-1,2)/B(j)
vx_s = vxs + dT*fs(j-1,3)/B(j)
vy_s = vys + dT*fs(j-1,4)/B(j)

f1(j,1) = vx_1

```

```

f1(j,2) = vy_1
f1(j,3) =
((xs-x1)/(((xs-x1)**2.d0+(ys-y1)**2.d0)**1.5d0)) -
(m2*(x1-x2)/(((x1-x2)**2.d0+(y1-y2)**2.d0)**1.5d0))
f1(j,4) =
((ys-y1)/(((xs-x1)**2.d0+(ys-y1)**2.d0)**1.5d0)) -
(m2*(y1-y2)/(((x1-x2)**2.d0+(y1-y2)**2.d0)**1.5d0))

f2(j,1) = vx_2
f2(j,2) = vy_2
f2(j,3) =
((xs-x2)/(((xs-x2)**2.d0+(ys-y2)**2.d0)**1.5d0)) +
(m1*(x1-x2)/(((x1-x2)**2.d0+(y1-y2)**2.d0)**1.5d0))
f2(j,4) =
((ys-y2)/(((xs-x2)**2.d0+(ys-y2)**2.d0)**1.5d0)) +
(m1*(y1-y2)/(((x1-x2)**2.d0+(y1-y2)**2.d0)**1.5d0))

fs(j,1) = vx_s
fs(j,2) = vy_s
fs(j,3) =
(m1*(xs-x1)/(((xs-x1)**2.d0+(ys-y1)**2.d0)**1.5d0)) +
(m2*(xs-x2)/(((xs-x2)**2.d0+(ys-y2)**2.d0)**1.5d0))
fs(j,4) =
(m1*(ys-y1)/(((xs-x1)**2.d0+(ys-y1)**2.d0)**1.5d0)) +
(m2*(ys-y2)/(((xs-x2)**2.d0+(ys-y2)**2.d0)**1.5d0))

enddo

px1 = px1 +
(dT/6.d0)*(f1(1,1)+2.d0*(f1(2,1)+f1(3,1))+f1(4,1))
py1 = py1 +
(dT/6.d0)*(f1(1,2)+2.d0*(f1(2,2)+f1(3,2))+f1(4,2))
vx1 = vx1 +
(dT/6.d0)*(f1(1,3)+2.d0*(f1(2,3)+f1(3,3))+f1(4,3))
vy1 = vy1 +
(dT/6.d0)*(f1(1,4)+2.d0*(f1(2,4)+f1(3,4))+f1(4,4))

px2 = px2 +
(dT/6.d0)*(f2(1,1)+2.d0*(f2(2,1)+f2(3,1))+f2(4,1))
py2 = py2 +
(dT/6.d0)*(f2(1,2)+2.d0*(f2(2,2)+f2(3,2))+f2(4,2))
vx2 = vx2 +
(dT/6.d0)*(f2(1,3)+2.d0*(f2(2,3)+f2(3,3))+f2(4,3))
vy2 = vy2 +
(dT/6.d0)*(f2(1,4)+2.d0*(f2(2,4)+f2(3,4))+f2(4,4))

```

```

                pxs                =                pxs                +
(dT/6.d0)*(fs(1,1)+2.d0*(fs(2,1)+fs(3,1))+fs(4,1))
                pys                =                pys                +
(dT/6.d0)*(fs(1,2)+2.d0*(fs(2,2)+fs(3,2))+fs(4,2))
                vxs                =                vxs                +
(dT/6.d0)*(fs(1,3)+2.d0*(fs(2,3)+fs(3,3))+fs(4,3))
                vys                =                vys                +
(dT/6.d0)*(fs(1,4)+2.d0*(fs(2,4)+fs(3,4))+fs(4,4))

                p1 = (px1**2.d0+py1**2.d0)**0.5d0

            enddo

```

```
end program
```

3-Coreografias celestes

Serão estudadas aqui formas de órbitas celestes diferenciadas em que é possível simular as órbitas dos planetas.

3.1 - Três corpos em um triângulo equilátero

Modifica-se então, os valores iniciais no código assim como pedido:

```

!note aqui que 1 e 2 se referem às respectivas partículas 1 e
2, além do que 3 se refere ao Sol
!as três partículas tem a mesma massa
!são feitas aqui as substituições como pedido no projeto

dT = 0.001d0
ms = 1.d0
pi = 4.d0*atan(1.d0)

m1=1.d0
m2=1.d0

px1=1.d0
py1=0.d0
vx1=0.d0
vy1=1.d0*v0

px2=-0.5d0

```

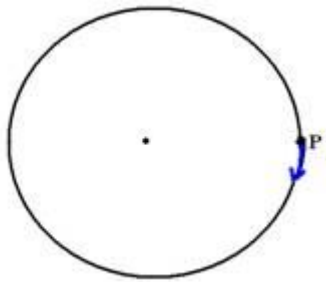
```

py2=(3.d0**0.5d0)/2.d0
vx2=(-3.d0**0.5d0)/2.d0*v0
vy2=-0.5d0*v0

pxs=-0.5d0
pys=(-3.d0**0.5d0)/2.d0
vxs=(3.d0**0.5d0)/2.d0*v0
vys=-0.5d0*v0

```

Espera-se encontrar então uma trajetória circular:



3.2 - Solução de C. Moore: o oito

Modifica-se então, os valores iniciais no código assim como pedido:

!note aqui que 1 e 2 se referem às respectivas partículas 1 e 2, além do que 3 se refere ao Sol

!as três partículas tem a mesma massa

!são feitas aqui as substituições como pedido no projeto

```

dT = 0.001d0
ms = 1.d0
pi = 4.d0*atan(1.d0)

```

```

m1=1.d0
m2=1.d0

```

```

px1=0.97000436d0
py1=-0.24308753d0
vx1=0.466203685d0
vy1=0.43236573d0

```

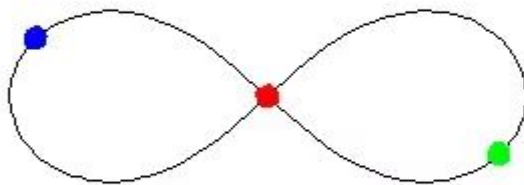
```

px2=-0.97000436d0
py2=0.24308753d0
vx2=0.466203685d0

```

```
vy2=0.43236573d0  
  
pxs=0.d0  
pys=0.d0  
vxs=-0.93240737d0  
vys=-0.86473146d0
```

Espera-se encontrar uma órbita em forma de oito:



3.3 - Solução de C. Moore modificada

Modificando como pedido a posição inicial em X da partícula 1.

!note aqui que 1 e 2 se referem às respectivas partículas 1 e 2, além do que 3 se refere ao Sol

!as três partículas tem a mesma massa

!são feitas aqui as substituições como pedido no projeto

```
dT = 0.001d0  
ms = 1.d0  
pi = 4.d0*atan(1.d0)
```

```
m1=1.d0  
m2=1.d0
```

```
px1=0.95000436  
py1=-0.24308753d0
```



```
vx1=0.466203685d0  
vy1=0.43236573d0
```

```
px2=-0.97000436d0  
py2=0.24308753d0  
vx2=0.466203685d0  
vy2=0.43236573d0
```

```
pxs=0.d0  
pys=0.d0  
vxs=-0.93240737d0  
vys=-0.86473146d0
```

Espera-se encontrar uma órbita em forma de 8, porém com fase defasada, ou seja, a aparência seria de vários 8 deslocados um pouco para o lado um do outro.